

Министерство высшего и среднего специального образования  
РСФСР

Ордена Трудового Красного Знамени  
научно-исследовательский-радиофизический институт(НИРФИ)

Преприят № 155

ПЕРЕХОДНОЕ ИЗЛУЧЕНИЕ АКУСТИКО-ГРАВИТАЦИОННЫХ  
ВОЛН

Г.И.Григорьев

О.Н.Савича

Горький 1982

УДК 581.586

Рассмотрено переходное излучение акустико-гравитационных волн, возникающее при пересечении вертикально движущимся точечным источником массы границы раздела двух сред. Получено и проанализировано спектральное распределение возмущения давления и плотности потока излучаемой энергии. Из анализа кинематических соотношений для поверхности равных фаз пространственных низкочастотных возмущений сделан вывод о существовании каустики.

Переходное излучение, возникающее при движении заряженной частицы из одной среды в другую, впервые было рассмотрено в электродинамике Гинзбургом и Франком [1]. В акустике переходное излучение звуковых волн анализировалось в [2]. В данной работе определяется характер гидродинамических возмущений для случая, когда вертикально движущийся источник массы под прямым углом пересекает границу раздела двух сред, в каждой из которых из-за влияния поля тяжести равновесные давление  $p_0$  и плотность  $\rho_0$  меняются по барометрическому закону.

### Основные уравнения

Пользуясь известной системой линейных уравнений идеального газа в поле силы тяжести (с ускорением  $\vec{g} = \{0, 0, -g\}$ ) при наличии движущегося источника массы с производительностью  $Q$ , можно получить волновое уравнение для возмущений давления  $p$  или более удобной для анализа величины  $\psi = p \exp(\gamma/2H)$  [3]

$$\frac{1}{c_n^2} \frac{\partial^4 \psi_n}{\partial t^4} - \frac{\partial^2}{\partial t^2} \left( \Delta - \frac{1}{4H_n^2} \right) \psi_n - \omega_{gn}^2 \Delta_{\perp} \psi_n =$$

$$= \exp(z/2H_n) \left( \frac{\partial^2}{\partial t^2} + \omega_{gn}^2 \right) \frac{\partial Q_n}{\partial t} \quad (1)$$

Здесь индексы  $n = 1, 2$  характеризуют параметры среды над ( $z > 0$ ) и под ( $z < 0$ ) границей раздела (плоскость  $X, Y$  при  $Z = 0$ ). При записи (1) использованы обозначения:  $c$  - скорость звука,  $H$  - высота однородной атмосферы,  $\omega_g = \sqrt{\gamma - 1} g/c$  - частота Вьянсяля-Бранта,  $\gamma = c_p/c_v$  - отношение теплоемкостей,  $\Delta_{\perp} = \frac{\partial^2}{\partial x^2} + \frac{\partial^2}{\partial y^2}$ .

Принимая, что точечный источник массы  $Q$  движется в положительном направлении оси  $Z$  со скоростью  $v_n$

$$Q_n = Q_0 \exp(-z/2H_n) \delta(z - v_n t) \delta(r) / 2\pi r, \quad (2)$$

введем цилиндрическую систему координат  $(r, \varphi, z)$  и воспользуемся преобразованием Фурье - Бесселя

$$\bar{\psi}(\vec{k}, \omega) = (2\pi)^{-1} \int_0^{\infty} \int_0^{\infty} r \psi(r, t) e^{i\omega t} J_0(kr) dr dt, \quad (3)$$

где  $J_0$  - функция Бесселя первого рода нулевого порядка. Применяя это преобразование к уравнению (1) с источником (2), получим

$$\frac{d^2 \bar{\psi}_n}{dz^2} + \kappa_n^2 \bar{\psi}_n = \frac{i Q_0 (\omega^2 - \omega_{gn}^2)}{4\pi^2 \omega v_n} \exp\left(\frac{i\omega z}{v_n}\right), \quad (4)$$

$$\kappa_n^2 = \frac{\omega^2 - \omega_{An}^2}{c_n^2} + k^2 \frac{\omega_{gn}^2 - \omega^2}{\omega^2}, \quad (5)$$

где  $\omega_{An} = c_n / 2H_n$ . На границе  $z = 0$  непрерывными являются вертикальное смещение  $\xi_z$  и, следовательно, вертикальная компонента скорости  $w = d\xi_z/dt$ , а также полное давление  $p - \rho_0 g \xi_z$ , то-есть при  $z = 0$

$$w_1 = w_2, \quad \rho_1 + \rho_{01} \frac{gw_1}{i\omega} = \rho_2 + \rho_{02} \frac{gw_2}{i\omega}. \quad (6)$$

Здесь  $\rho_{01}$  и  $\rho_{02}$  - равновесные значения плотности среды на разных сторонах границы  $z = 0$ . Поляризационные соотношения<sup>+)</sup> акустико-гравитационных волн позволяют переписать граничные условия (6) через искомую функцию  $\psi$ :

$$\left. \begin{aligned} \left( \frac{\partial \bar{\psi}_1}{\partial z} + k_{n1} \bar{\psi}_1 \right) f_1 &= \left( \frac{\partial \bar{\psi}_2}{\partial z} + k_{n2} \bar{\psi}_2 \right) f_2 \\ \bar{\psi}_1 + (\rho_{01} - \rho_{02}) \left( \frac{\partial \bar{\psi}_1}{\partial z} + k_{n1} \bar{\psi}_1 \right) f_1 g &= \bar{\psi}_2 \end{aligned} \right\} z = 0.$$

(7)

<sup>+) Из них мы, в частности, использовали</sup>

$$w = \frac{i\omega}{\rho_0(\omega_g^2 - \omega^2)} \left( \frac{\partial p}{\partial z} + \frac{gp}{c^2} \right).$$

В (7) введены обозначения:  $k_{Hn} = (2-\gamma)/2gH_n$ ,  $f_n = [\rho_{0n}(\omega g_n^2 - \omega^2)]^{-1}$ ,  $n = 1, 2$ .

Решение уравнения (4) с граничными условиями (7) можно представить в виде

$$\bar{\Psi}_1 = F_1 \exp(i\omega z/v_1) + A_1 \exp(\pm i\chi_1 z),$$

$$\bar{\Psi}_2 = F_2 \exp(i\omega z/v_2) + A_2 \exp(\mp i\chi_2 z).$$

В этих соотношениях  $F_n = \frac{iQ_0(\omega^2 - \omega g_n^2)}{4\pi^2 \omega v_n (\chi_n^2 - \omega^2/c_n^2 M_n^2)}$ ,  $M_n = v_n/c_n$  - числа Маха, амплитуды  $A_1$  и  $A_2$  соответственно равны

$$A_1 = [F_1(f_1 k_1 - f_2 K_2) - i f_2 F_2(\omega/v_2 \pm \chi_2) - g \Delta \rho f_1 k_1 F_1 f_2 K_2] (f_2 K_2 - f_1 K_1 + g \Delta \rho f_1 K_1 f_2 K_2)^{-1},$$

$$A_2 = [F_2(f_1 K_1 - f_2 k_2) + i f_1 F_1(\omega/v_1 \mp \chi_1) - g \Delta \rho f_1 K_1 f_2 k_2 F_2] (f_2 K_2 - f_1 K_1 + g \Delta \rho f_1 K_1 f_2 K_2)^{-1}, \quad (9)$$

где  $\Delta \rho = \rho_{01} - \rho_{02}$ ,  $k_n = k_{Hn} + i\omega/v_n$ ,  $K_1 = k_{H1} \pm i\chi_1$ ,  $K_2 = k_{H2} \mp i\chi_2$ . Проанализируем полученное решение в различных предельных случаях.

#### Переходное излучение акустико-гравитационных волн

Переходное излучение  $\sim A_n \exp(i\chi_n z)$  должно распространяться от границы раздела сред. В связи с этим

в формулах (8), (9) и последующих указаны двойные знаки у волновых чисел  $\mathcal{K}_n$ . Верхний знак относится к быстрым акустико-гравитационным волнам (АГВ) в частотном диапазоне  $\omega \gg \omega_{An}$ ; нижний - к внутренним гравитационным при  $\omega \leq \omega_{gn}$ . В решении (8) представлено также черенковское излучение АГВ  $\sim F_n \exp(i\omega z/c_n)$ . Такое излучение анализировалось в ряде работ (см., например, [3, 4]) и здесь рассматриваться не будет.

Для возмущений давления  $p_1$  и горизонтальной компоненты скорости  $v_{r1} = (i\omega\rho_0)^{-1} \partial p_1 / \partial r$ , связанных с переходным излучением, в волновой зоне, где  $kr \gg 1$  и можно воспользоваться асимптотическим представлением функций Бесселя, имеем

$$p_1 \approx \frac{\exp(-z/2H_1)}{\sqrt{2\pi i r}} \iint_{-\infty}^{\infty} A_1 k^{1/2} \exp(-i\omega t \pm i x_1 z + i k r) dk d\omega, \quad (10)$$

$$v_{r1} = \frac{\exp(z/2H_1)}{\rho_0 \sqrt{2\pi i r}} \iint_{-\infty}^{\infty} A_1 k^{3/2} \exp(-i\omega t \pm i x_1 z + i k r) d\omega dk. \quad (11)$$

В плоскости комплексных  $k$  подынтегральные функции в (10), (11) имеют особенности: точки ветвления  $k=0$ ,  $k_{gn} =$

$$= \pm \frac{|\omega|}{c_n} \sqrt{\frac{\omega_{An}^2 - \omega^2}{\omega_{gn}^2 - \omega^2}}, \text{ полюсы } k_{pn} = \pm \frac{|\omega|}{c_n} \sqrt{\frac{\omega_{An}^2 - \omega^2 (1 - M_n^2)}{\omega_{gn}^2 - \omega^2}},$$

а также полюсы, являющиеся решением уравнения  $\mathcal{L} =$

$$= f_2 K_2 - f_1 K_1 + g \Delta \rho f_1 K_1 f_2 K_2 = 0.$$

Кроме отмеченных особенностей при интегрировании (10),

(11) надо учесть наличие седловых точек

$$k_{sn} = \frac{\omega^2}{c_n} \sqrt{\frac{\omega_{An}^2 - \omega^2}{(\omega_{gn}^2 - \omega^2)(\omega^2 - \omega_{cn}^2)}} \sin \vartheta, \quad (12)$$

где  $\omega_{cn} = \omega_{gn} \cos \vartheta$  и угол  $\vartheta$  определен соотношениями  $r = R \sin \vartheta$ ,  $z = R \cos \vartheta$ . Соответствующее выражение для вертикальной компоненты волнового вектора  $k_{gn}$  находим из (8), (12):

$$k_{sn} = \frac{1}{c_n} \sqrt{\frac{(\omega_{An}^2 - \omega^2)(\omega_{gn}^2 - \omega^2)}{\omega^2 - \omega_{cn}^2}} \cos \vartheta. \quad (13)$$

Вклад седловых точек в интегральных представлениях (10), (11) является определяющим при вычислении переходного излучения [2]. На плоскости комплексных  $k = k_R + ik_I$  контур интегрирования вблизи  $k = k_{sn}$  задается соотношениями [5]

$$k_I = \frac{\omega(k_R - k_\alpha)(k_R - k_\beta) \operatorname{tg} \vartheta}{(\omega_g^2 - \omega^2)^{1/2} (k_T - k_R)^{1/2} (k_R - k_\beta)^{1/2}}, \quad \omega_c < \omega < \omega_g, \quad (14)$$

$$k_I = \frac{\omega(k_R - k_\alpha)(k_R - k_\beta) \operatorname{tg} \vartheta}{(\omega_g^2 - \omega^2)^{1/2} [(k_R - k_\beta)^2 + k_\beta^2]^{1/2}}, \quad \omega > \omega_A. \quad (15)$$

При записи (14), (15) опущен индекс  $n$  у всех величин и введены обозначения

$$k_\alpha = \frac{1}{c} \sqrt{\frac{(\omega_A^2 - \omega^2)(\omega^2 - \omega_c^2)}{\omega_g^2 - \omega^2}} \sin \vartheta, \quad k_\beta = \frac{\omega}{c} \sqrt{\frac{\omega_A^2 - \omega^2}{\omega^2 - \omega_c^2}} \cos \vartheta.$$



$$k_T = k_\beta + k_s, \quad k_\delta = k_s - k_\beta.$$

Интегрируя (10) по  $k$  методом перевала и не учитывая других особенностей подынтегрального выражения, находим

$$P_1 = \frac{\exp(-z/2H_1) \cos \vartheta}{R C_1} \int_{-\infty}^{\infty} \frac{\omega^2 A_1(k_s, \omega, x_g)}{\omega^2 - \omega_{c1}^2} |\omega_{A1}^2 - \omega^2|^{1/2} \cdot \exp \left\{ -i\omega t + i \frac{R}{c} \sqrt{\frac{(\omega_{A1}^2 - \omega^2)(\omega^2 - \omega_{c1}^2)}{\omega_{g1}^2 - \omega^2}} \right\} d\omega. \quad (16)$$

Поток энергии  $W_\omega$  переходного излучения на частоте  $\omega$  в телесный угол  $d\Omega = \sin \vartheta d\vartheta d\varphi$  за полное время пролета подсчитаем по формуле

$$\frac{dW_\omega}{d\Omega} = R^2 \int_{-\infty}^{\infty} q_R dt, \quad (17)$$

где  $q_R = (\rho v_R^* + \rho^* v_R)/2$  — плотность потока энергии в радиальном направлении, знак  $(*)$  означает комплексную сопряженность. Радиальная компонента скорости  $v_R$  может быть выражена через давление  $p = \psi \exp(-R \cos \vartheta / 2H)$  из исходной системы уравнений гидродинамики для возмущений  $p, \rho,$

$v_R, v_\vartheta$ , записанных в сферической системе координат. Проведем необходимые выкладки, получим

$$\rho_0 \left( \omega_g^2 + \frac{\partial^2}{\partial t^2} \right) \frac{\partial v_R}{\partial t} = - \exp \left( - \frac{R \cos \vartheta}{2H} \right) \left[ \left( \omega_g^2 \sin^2 \vartheta + \frac{\partial^2}{\partial t^2} \right) \frac{\partial \psi}{\partial R} + \frac{\omega_g^2}{R} \frac{\partial \psi}{\partial \vartheta} \sin \vartheta \cos \vartheta + \frac{\partial^2 \psi}{\partial t^2} k_H \cos \vartheta \right].$$

(18)

Используя представления (16), (18), приведем выражение

$q_R(\omega, \vartheta)$  для случая, когда точечный источник массы (2)  $Q \sim \delta(z + vt)$  движется в полупространстве  $z \geq 0$  к абсолютно жесткой границе

$$q_1 = \frac{q_0 \omega^3 [(\omega_\lambda^2 - \omega^2)(\omega_g^2 - \omega^2)]^{3/2} (k_H^2 + \omega^2 v^{-2}) \cos^2 \vartheta}{c^2 v^2 (\omega^2 - \omega_g^2 \cos^2 \vartheta)^{5/2} (\kappa_s^2 - \omega^2 v^{-2})(\kappa_s^2 + k_H^2)}, \quad (19)$$

где  $q_0 = Q_0^2 / 16\pi^4 \rho_0 c R^2$  величина  $\kappa_s$  определена формулой (13). Заметим, что из полного решения поставленной задачи (8) мы выделяем часть, соответствующую переходному излучению АГВ с плотностью потока энергии в радиальном направлении  $q_1$ . Несложный анализ формулы (19), однако, показывает, что при выполнении условия черезковского синхронизма  $\kappa_s^2 - \omega^2 v^{-2} = 0$  <sup>+)</sup>

<sup>+)</sup> Более строгая оценка вклада седловой точки при приближении ее к полюсу  $K_p$  или точке ветвления  $K_B$  в интегральном представлении (10) дается формулами (16), (28) § 4 гл. IV из [10].

плотность потока энергии неограниченно возрастает. В связи с этим воспользуемся равенством

$$\frac{k_H^2 + \omega^2 v^{-2}}{(\omega_s^2 + k_H^2)(\omega_s^2 - \omega^2 v^{-2})^2} = \frac{1}{k_H^2 + \omega^2 v^{-2}} \left[ \frac{1}{\omega_s^2 + k_H^2} + \frac{k_H^2 - \omega_s^2 + 2\omega^2 v^{-2}}{(\omega_s^2 - \omega^2 v^{-2})^2} \right] \quad (20)$$

и отбросим в (19) ту часть (второе слагаемое в квадратных скобках (20)), которая соответствует черенковскому механизму генерации возмущений. В результате для плотности потока энергии переходного излучения  $q_{1n}$  получим

$$q_{1n} = \frac{q_0 \omega^3 [(\omega_A^2 - \omega^2)(\omega_g^2 - \omega^2)]^{3/2}}{c^2 v^2 (\omega^2 - \omega_g^2 \cos^2 \vartheta)^{5/2} (k_H^2 + \omega_s^2)(k_H^2 + \omega^2 v^{-2})} \quad (21)$$

Подсчитанная по формуле (21) плотность потока энергии

$q_{1n}/q_0$  представлена на рис. 1 в зависимости от частоты  $\omega/\omega_g$  для  $v = 0,5c$  и углов  $\vartheta_1 = 45^\circ$  (сплошная кривая) и  $\vartheta_2 = 70^\circ$  (пунктир).

### Кинематические соотношения АГВ для переходного излучения

В предыдущем разделе получено спектральное представление  $\delta$  возмущений для переходного излучения АГВ, возникающего при пересечении источником массы границы раздела двух сред. Пространственно-временную форму соответствующего сигнала можно получить после интегрирования (16) по частоте  $\omega$ , например, методом стационарной фазы.

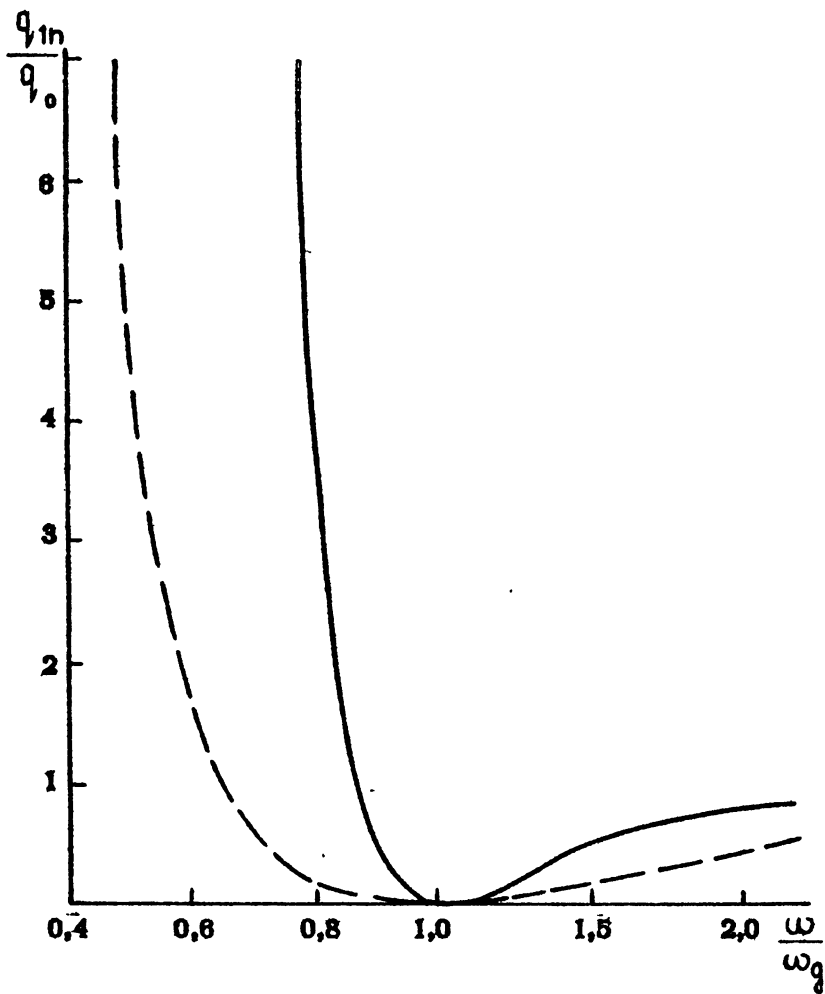


Рис. 1

Однако осуществлять эту программу нелегко вследствие сложной зависимости  $\Phi = \Phi(\omega)$ . Тем не менее, используя кинематические соотношения, сделаем некоторые выводы о структуре сигнала. Анализ, проведенный в [6, 7], показал, что импульсный источник в безграничной изотермической атмосфере порождает три сигнала. Первыми в точку наблюдения приходят со скоростью звука возмущения на высоких частотах  $\omega \gg \omega_A$ . Затем появляется возмущение на частоте  $\omega_m < \omega_g$ , которое в дальнейшем расщепляется на два с частотами  $\omega_g \cos \vartheta < \omega_1 < \omega_m$  и  $\omega_m < \omega < \omega_g$ . Асимптотически при  $t \rightarrow \infty$  характерные частоты этих трех сигналов приближаются соответственно к значениям  $\omega_A$ ,  $\omega_g$  и  $\omega_c = \omega_g \cos \vartheta$ . Пояснить эту ситуацию можно, анализируя зависимость групповой скорости  $V_{gp}$  от частоты  $\omega$  и угла  $\vartheta$ . Определяя  $V_{gp} = \sqrt{(\partial\omega/\partial x)^2 + (\partial\omega/\partial k)^2}$  из дисперсионного уравнения (5) и подставляя в полученное выражение найденные выше  $k = k_g(\omega, \vartheta)$  и  $x = x_g(\omega, \vartheta)$ , получим

$$\frac{V_{gp}}{c} = \frac{[(\omega_A^2 - \omega^2)(\omega^2 - \omega_g^2 \cos^2 \vartheta)]^{1/2} (\omega_g^2 - \omega^2)^{3/2}}{\omega [(\omega^2 - \omega_g^2)^2 + \omega_g^2 (\omega_A^2 - \omega_g^2) \sin^2 \vartheta]} \quad (22)$$

На рис. 2 дана зависимость  $V_{gp}/c$  от частоты  $\omega/\omega_g$  для разных углов  $\vartheta$ . Из этого рисунка видно, что для каждого угла  $\vartheta$  есть частота  $\omega_m < \omega_g$ , для которой  $V_{gp}(\vartheta, \omega_m)$  максимальна, а время группового запаздывания сигнала

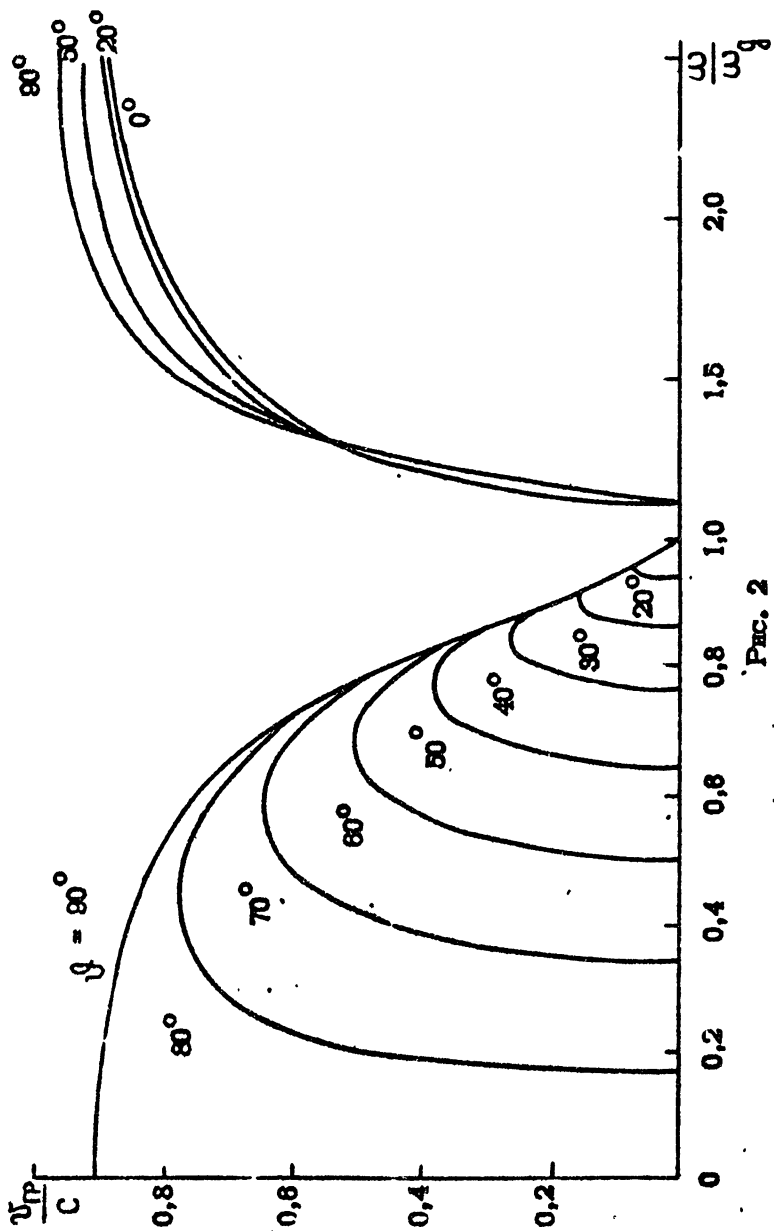


Рис. 2

ла минимально.

Исходными для нахождения поверхностей равных фаз возмущений являются соотношения

$$\Phi(\omega, \vartheta) = \frac{R}{c} \left[ \frac{(\omega_A^2 - \omega^2)(\omega^2 - \omega_g^2 \cos^2 \vartheta)}{\omega_g^2 - \omega^2} \right]^{1/2} - \omega t - B = \text{const},$$

$$\Phi'_\omega = \frac{R\omega}{ct} \frac{(\omega^2 - \omega_g^2)^2 + \omega_g^2(\omega_A^2 - \omega_g^2) \sin^2 \vartheta}{[(\omega_A^2 - \omega^2)(\omega^2 - \omega_g^2 \cos^2 \vartheta)]^{1/2} (\omega_g^2 - \omega^2)^{3/2}} - 1 = 0.$$

(23)

Вводя безразмерную частоту  $\Omega = \omega/\omega_g$ , а также  $B_1 = B/\omega_g t$  и разрешая систему (23) относительно  $\tilde{R} = r/ct$ ,  $\tilde{z} = z/ct$ , получаем в параметрическом виде уравнение искомого поверхностей

$$\tilde{R}^2 = (\Omega^2 - 1)^2 \left[ \frac{(B_1 + \Omega)^2}{(\Omega^2 - 1,225)^2} - \frac{B_1 + \Omega}{\Omega(\Omega^2 - 1,225)} \right],$$

$$\tilde{z}^2 = \frac{B_1 + \Omega}{\Omega} - \left[ 1 + \frac{0,225}{(\Omega^2 - 1)^2} \right] \tilde{R}^2.$$

(24)

Сечения поверхностей одинаковых фаз возмущений какой-либо из вертикальных плоскостей, содержащих траекторию источника массы, представлена на рис. 3 для разных значений

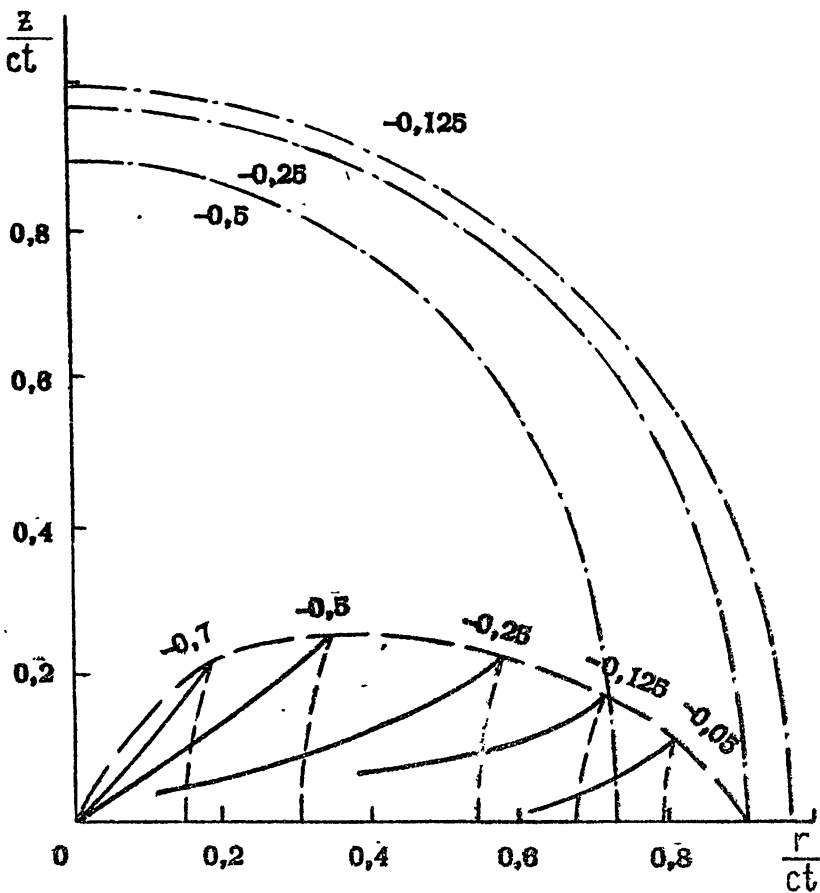


Рис. 3



параметра  $B_1$ , отмеченных цифрами у кривых. Штрихпунктирные линии на рис. 3 относятся к инфразвуковым возмущениям на частотах  $\omega > \omega_A$ , сплошные соответствуют частотам  $\omega_g \cos \vartheta < \omega_1 < \omega_m$  пунктирные — частотам  $\omega_m < \omega_2 < \omega_g$ . Из приведенной картины следует важный вывод о том, что для переходного излучения в диапазоне частот  $\omega < \omega_g$  образуется каустическая поверхность. На рис. 3 ее след изображен пунктиром вдоль носовых частей нижних кривых. Каустика отделяет область тени от области, куда приходят две группы волн.

Вывод о существовании каустической поверхности для импульсных источников можно сделать также, анализируя зависимость групповой скорости АГВ от частоты. Положение каустики определяется тогда как геометрическое место точек, где  $\Phi''_{\omega\omega} = 0$  или  $\partial V_{гр} / \partial \omega = 0$  [8, 9]. Пользуясь этим определением, на основании данных, представленных на рис. 2, можно найти каустику, которая, естественно, совпадает с изображенной на рис. 3.

В заключение укажем, что источник массы или энергии, находясь вблизи границы раздела двух сред, возбуждает также поверхностные волны. Соответствующая задача будет рассмотрена в другой работе авторов.

### Л и т е р а т у р а

1. Гинзбург В.Л., Франк И.М. — ЖЭТФ, 1945, т. 10, в.1, с. 18.

2. Докучаев В.П. - ЖЭТФ, 1962, т. 43, в. 2(8), с. 595.
3. Григорьев Г.И., Докучаев В.П. - Изв. АН СССР, ФАО, 1970, т. 6, № 7, с. 678.
4. Григорьев Г.И., Савина О.Н. - Изв. вузов - Радиофизика, 1982 (в печати).
5. Pierce A.D. - J. Acoust. Soc. Am., 1963, v. 35, N11, p. 1798.
6. Liu C.H., Yeh K.C. - Tellus, 1971, v. 23, N2, p. 150.
7. Francis S.H. - J. Atm. Terr. Phys., 1975, v. 37, p. 1011.
8. Tolstoy I. Wave propagation. McGraw-Hill, 1973, p. 292-294.
9. Cole J.D., Greifinger C. - J. Geophys. Res., 1969, v. 74, N14, p. 3693.

Дата поступления  
статья 21 июня 1982 г.

Геннадий Иванович Григорьев  
Ольга Николаевна Савина .

**ПЕРЕХОДНОЕ ИЗЛУЧЕНИЕ АКУСТИКО-ГРАВИТАЦИОННЫХ  
ВОЛН**

---

Подписано в печать 15.07.82 г. МЦ 00678. Формат 60х34/16  
Бумага множительная. Печать офсетная. Объем 0,99 усл. печ. л.  
Тираж 120. Заказ 2824. Бесплатно

---

Горьковский ордена Трудового Красного Знамени научно-ис-  
следовательский радиофизический институт, 603 600, Горький,  
ГСП-51, ул. Лядова, 25/14, т. 38-90-91, д. 5-09

Отпечатано на роталпринте НИРФИ